

Original Research Paper

Fusulinids biostratigraphy of Zaladou formation (Gzhelian-Asselian) from Central Iran (Ozbak Kuh), Shishtu section

Ali Jalali¹, Hamed Yarahmadzahi^{1,2*}, Mehran Arian¹, Abdollah Saidi³, and Seyed Mohsen Aleali¹¹ Department of Earth Sciences, Faculty of Basic Sciences, Tehran Science and Research Branch, Islamic Azad University, Tehran, Iran² Department of Geology, Earth Sciences Research Center, Zahedan Branch, Islamic Azad University, Zahedan, Iran³ Geological Survey of Iran, Tehran, Iran**ARTICLE INFO****Article history:**

Received: 2022 May 18

Accepted: 2022 August 20

Available online: 2023 June 22

Keywords:

Biostratigraphy

Fusulinids

Zaladou formation

Central Iran

ABSTRACT

The Shishtu section is located in the north of Tabas Ghezelin and Asselian sequences of Zaladou formation with 60 m thickness are divided into five units, includes sandstone, limestone, shale, sandy limestone and limestone. The lower boundary of the Gzhelian deposits with disconformity on top of the Moscovian deposits of the Abshani formation. The upper boundary of these deposits with the Tighe-Madanou formation is continuous. The assemblages of fusulinids in the Shishtu section such as *Ruzhenzevites-Rauserites-Triticites* are identified in the upper part of Gzhalian previously reported from equal deposits in Darvaz, Fergana, Southern Urals, Donetsk and Carnic of Alps, as well as, Central Iran, Central Alborz and Sanandaj-Sirjan zones. Also, different species of *Sphaeroschwagerina*, *Pseudoschwagerina* and *Likharevites*, which illustrate the Asselian age, represent the Carboniferous-Permian boundary in the studied section and allow for comparability with other structural-sedimentary zones of Iran, including Central Iran, Central Alborz (Doroud Group) and Sanandaj-Sirjan zone. This equivalence expresses the transgressive of sea level in different parts of Iran in the late Carboniferous and early Permian periods. In Shishtu section 15 genera, 35 species and 2 subspecies of Fusulins have been identified, some of which are reported for the first time from Iran.

1. Introduction

Late Carboniferous and Early Permian deposits in central Iran show various differences from other deposits of the same age in Iran in terms of lithology and facies (Yarahmadzahi, 2011). The lithology characterized by sequences of conglomerate, shale, sandstone, calcareous sand, limestone, and intercalation of dolomite. The fusulinid foraminifera are the characteristic fossil

groups of the Carboniferous-Permian and have been commonly found in carbonates and other marine facies lithologies. Fusulinds show diverse and fast evolutionary patterns, in addition to their easy to identify in the outcrops subsurface sequences. They also have great implications in the upper Palaeozoic stratigraphy. For instance, fusulinids have been used to compile the international

* Corresponding author: Hamed Yarahmadzahi; E-mail: hamed.yarahmadzahi@gmail.com

Citation:

Jalali, A., Yarahmadzahi, H., Arian, M., Saidi, A., Aleali, S. M., 2023. Fusulinids biostratigraphy of Zaladou formation (Gzhelian-Asselian) from Central Iran (Ozbak Kuh), Shishtu section. Scientific Quarterly Journal, GEOSCIENCES, 33(2), 128, 283-298. <https://doi.org/10.22071/gsj.2022.341732.1998>.

E-ISSN: 2645-4963; Copyright©2021 G.S. Journal & the authors. All rights reserved.

doi: 10.22071/GSJ.2022.341732.1998

dor: 10.1001.1.10237429.1402.33.2.1.0

This is an open access article under the by-nc/4.0/ License (<https://creativecommons.org/licenses/by-nc/4.0/>)

scale of Carboniferous time scale and to determine the boundaries of Tethyan paleobiogeography in Permian. The scale used in this research is based on the Late Carboniferous and Permian time scale of the Western Tethys (Leven and Gorgij, 2009). The late Pennsylvanian includes the Kasimovian and Gzhelian rocks, and the early Permian (Cisuralian) includes the Uralian and Darvassian series. The Uralian series includes the Asselian and Sakmarian rocks. A systematic study was carried out to identify as well as the evolutionary trends of small foraminifers and fusulinids in the Carboniferous-Permian boundary beds of the Shishtu section, east-central Iran.

The central Iran was particularly focused by the geoscientists since the beginning of 20th century. Due to several reasons such as unfavorable weather, lack of security and remoteness of the sections from large population centers, only few studies have been done in comparison to those of the Alborz, Zagros and Kope Dagh. Fortunately, during recent decades, articles have been published that have provided us new information about Central Iran fusulinids, namely Kahler (1974) who studied the fusulinid limestones of Sardar Formation in Zaladou section; Gorgij (2002) has examined the biological and sequence stratigraphy of the Carboniferous sediments of the Kalmard area in the Shah-Kamali, Madbiki and Gachal sections in his doctoral thesis; Taheri (2002) introduced a member named Zaladou in the uppermost part of the Sardar Formation in his doctoral thesis based on the content of the biozones and the foraminifera found, he proposed a Gzhelian-Asselian age for the detrital sequences of this member in his doctoral thesis; Leven and Taheri (2003) investigated the Zaladou section and suggested a Late Carboniferous and Early Permian age for this sequence; Leven and Gorgij (2006, 2007, 2008, 2009, 2011a,b) studied several sections based on fusulinids in the Carboniferous and Permian sequences of Central Iran and Sanandaj- Sirjan; Geatani et al. (2009) described fusulinids species and their host rocks in central and eastern Alborz; Yarahmadzahi et al. (2015) have studied the Pre-Permian micro-foraminifera (Sakamarine) in the south of Lut Block (Sarab section); Yarahmadzahi and Vachard (2018) have studied the stratigraphy and microfaminifers of the Late Carboniferous (Gzhelian)-Early Permian (Asselian-Sakmarine) in the Ozbak kuh area; Yarahmadzahi and Vachard (2019) analyzed micro-foraminifera of Moscovian-Asselian age in the Asadabad section of the Sanandaj-Sirjan zone in central Iran; Leven and Yarahmadzahi (2020) comprehensively studied the fossils of the earlier Permian (Asselian) of Emarat formation in Gaduk section which is located in Central Alborz; Jalali et al. (2021) have provided new information about the Rectogordius compaction zone with the Late Carboniferous age (Gzhelian) by examining the Zaladou formation in the Shishtu section (Tabas Block).

The main purpose of this research is to accurately identify

fusulinid taxa of late Carboniferous and early Permian to outline the stratigraphic distribution of identified taxa in the Zaladou formation. Furthermore, illustrate the evolutionary trends of early Permian foraminifers and their relationship with late Carboniferous foraminifers, as well as, present a detailed lithostratigraphic units of the Zaladou formation in Shishtu section. During this study the correlation and lithology of late Carboniferous (Gzhelian) and early Permian (Asselian) deposits in Central Iran are comparable with other regions of Iran.

2. Research methodology

Based on satellite images and geological maps best and detailed Shishtu outcrop have been chosen, systematic sampling has been done from limestone beds of Zaladou formation. Samples were prepared for small (2.5*7.5 Cm) and large sized (10*15 Cm) thin sections. Thin sections were studied by "Leitz Wetzlar (Laborlux 11 pol)" microscope, and microphotographs were taken with a Nikon digital camera mounted on Leitz Wetzlar (Laborlux 11 pol) microscope in the laboratory of the university and "Superior Statistical Analysis Pro" (version 9.0 of LIMDEP, 2008) software used for imagery. Stratigraphic logs were drawn by Corel Draw (version 18). The earlier geological maps (scales 1:250K and 1:100K were modified and redrawn within Arc GIS software (Arcgis 10.3) and satellite images were processed in Global Mapper version 21 software.

3. Results

The thickness of Zaladou formation in the Shishtu section is about 60 meters, based on detailed field studies, and divided into five rock units in an ascending order (Figures 2 and 3). The boundary at the base of Zaladou formation in the research area marks an erosional disconformity with the green lithologies of shale and sandstone of Absheni formation, of Moscovian age. It gradationally overlaid by dolomites of Tighe-Madanoue formation.

On the basis of stratigraphic distribution of fusulinids in Shishtu section, two assemblage zones were identified, (Plate 1-3). *Ruzhenzevites-Rauserites- Triticites* Assemblage zone has been identified from samples 28 to 50, in the upper parts of unit 3 to the middle part of unit 5, (Figures 4 and 5). The most notable is the diversity of *Rauserites*, *Ruzhenzevites*, and *Triticites* genera, which suggest a Late Carboniferous age (Gzhelian). *Pseudoschwagerina-Likharevites* Assemblage zone is known from samples 51 to 56 in the upper parts of Unit 5, (Figures 4 and 5). The significant feature of the biozone is the diversity of *Pseudoschwagerina* and the presence of *Ruzhenzivites*, *Sphaeroschwagerina* and *Likharevites* species. The representative species of these genera in most of the Iranian structural zones (Central Iran, Alborz and Sanandaj-Sirjan)

shown Asselian age (Figure 6). Distribution of fusulinids and index fusulinids in Shishtu section represented in Figures 4 and 5. Faunal comparisons of Zaladou, Anark, Asadabad and Central Alborz sections with Shishtu section displayed in Figure 6.

4. Discussions

Fusulinids from most structural-sedimentary zones of Iran with Carboniferous-Permian age have been well studied and identified, except the Kasimovin fusulinids. In the description of Late Carboniferous (Gzhelian) fusulinids of Iran, it should be noted that compare to European platform the identified species from Iran shows less diverse (Leven and Gorgij, 2011a,b). A large number of fusulinids identified in the Shishtu section belong to the *Rauserites*, *Triticites*, *Ruzhenzevites*, *Schwageriniformis* genera, and have common taxa with the material found in the northern Tethys basin. In the studies conducted by Leven and Gorgij (2011a,b) in the different sedimentary structural zones of Iran, besides the above-mentioned taxa, *Ultradxina*, *Schellwiena*, *Anderssonites* and *Likharevites* were also found in the Yazd block. In other blocks, the stratigraphic intervals either lack these genera or other fusulinids appear. In the early Permian, a large number of spherical to semi-spherical fusulinids with large and bulky twists are related to the genera *Sphaeroschwagerina*, whose occurrence indicates the base of Asselian, as well as other genera such as *Likharevites*, *Dutkevitchia*, *Quasifusulina*, *Pseudofusulinoides*, *Ruzhenzevites* and *Pseudoschwagerina*, but the genus *Likharevites* appears at the end of the Gzhelian and quickly disperses in the Asselian. In the upper part of Asselian, *Likharevites* is replaced by other genera. These forms were known as *Paraschwagerina* in the past. Considering the independent and reliable origin of *Paraschwagerina* from the Americas, Leven and Gorgij, (2011a,b) are of the opinion that the said these should be assigned to a genus of *Likharevites* or to other genus. The genus *Pseudoschwagerina* appears in higher parts than the genera *Sphaeroschwagerina* and *Likharevites* and they are also included in the Sacmarian. The genera *Quasifusulina* and *Ruzhenzevites*, often seen in Asselian strata, were also present

in the Gzhelian layers, while *Pseudofusulinoides* are only restricted to Asselian.

5. Conclusion

In general, the following results have been obtained by studying the sediments of the Shishtu section in the Ozbak kuh region:

- The thickness of the studied sequence in the Shishtu section is 60 meters, which is divided into five rock units. The Zaladou formation in this region contain sandstone, calcareous sandstone, shale, sandy limestone, coral and fusulinids limestone with thin intercalation of microconglomerate.
- 15 genera, 35 species and 2 subspecies of fusulinids have been identified from Shishtu section (Zaladou formation), and some species are reported for the first time from Iran.
- Based on the distribution of fusulinids, the *Ruzhenzevites-Rauserites-Triticites* Assemblage zone was dated as Gzhelian age and the *Pseudoschwagerina-Likharevites* Assemblage zone was dated as Asselian age.
- The two assemblage zones of fusulinids identified in the Shishtu section are comparable to the assemblage zones reported from Darvaz, Fergana, Southern Urals, Donetsk basin and Carnic Alps, Anark, Central Alborz, and Sanandaj-Sirjan zone.
- In the investigated section, the Gzhelian deposits gradually change to the Asselian deposits, which is characterized by the appearance of the genus *Pseudoschwagerina* in sample 51.
- Comparison of the studied sections with equivalent sequences with other structural-sedimentary zones of Iran, including Central Iran, Central Alborz and Sanandaj - Sirjan zone, has shown the wide transgressive of the sea level in the late Carboniferous and early Permian in large parts of Iran.
- The dolomite member in the upper part of the Zaladou formation (Tighe-Madanou formation) lacks any diagnostic fossils, but based on the stratigraphic position of the member between the Asselian strata and the overlying Bagh Vang formation, the mentioned dolomite is most likely of Sakmarian.

چینه‌نگاری زیستی فوزولینیدهای سازند زلدو (ژیلین-آلی) در ایران مرکزی (ازبک کوه)، برش شیستو

علی جلالی^۱، حامد یاراحمدزه^{۲*}، مهران آرین^۱، عبدالله سعیدی^۳ و سید محسن آل‌علی^۱

^۱ گروه علوم زمین، دانشکده علوم پایه، دانشگاه آزاد اسلامی، واحد علوم و تحقیقات، تهران، ایران

^۲ گروه زمین‌شناسی، مرکز تحقیقات علوم زمین، واحد زاهدان، دانشگاه آزاد اسلامی، زاهدان، ایران

^۳ سازمان زمین‌شناسی و اکتشافات معدنی کشور، تهران، ایران

چکیده

برش شیستو در شمال طبس و در مجاورت روستای شیستو قرار دارد. توالی‌های ژیلین و آسلین سازند زلدو به سمترا ۶۰ متر به پنج واحد سنگی تقسیم شده‌اند که شامل ماسه‌سنگ، ماسه‌سنگ آهکی، شیل، سنگ آهک ماسه‌ای و سنگ آهک فوزولینیدهای می‌باشد. مرز پایینی نهشته‌ها با نایپوستگی فرسایشی بر روی نهشته‌های سازند آبشنی قرار گرفته است. مرز بالایی این نهشته‌ها با سازند تیغ معدنی به سن ساکمارین و پیوسته است. اجتماعی از فوزولینیدهای ژیلین در برش مورد مطالعه مانند *Ruzhenzevites-Rausurites-Triticites* که در بالاترین بخش سنگ نهشته‌های آشکوب ژیلین نواحی دارواز، فرگانه، اورال جنوبی، حوضه دونتسک و کارنیک آلب، انارک، البرز مرکزی و زون سنتدج-سیرجان شناسایی شده و همچنین گونه‌های مختلف *Likharevites* و *Sphaeroschwagerina*, *Pseudoschwagerina* که گویای سن آسلین هستند، نشان‌دهنده پیوستگی مرز کربنیفر-پرمین در برش مورد مطالعه و همارزی قابل مقایسه با سایر پهنه‌های ساختاری-رسوبی ایران از جمله ایران مرکزی (سازند زلدو)، البرز (گروه دورود) و زون سنتدج-سیرجان (سازند و زنان) می‌باشد. همارزی یاد شده حکایت از پیشروی دریا در پهنه‌های ساختاری-رسوبی مختلف ایران در اوخر کربنیفر و ابتدای پرمین دارد.

اطلاعات مقاله

تاریخچه مقاله:

تاریخ دریافت: ۱۴۰۱/۰۲/۲۸

تاریخ پذیرش: ۱۴۰۱/۰۵/۲۹

تاریخ انتشار: ۱۴۰۲/۰۴/۰۱

کلیدواژه‌ها:

چینه‌نگاری زیستی

فوزولینیدهای

سازند زلدو

ایران مرکزی

۱- پیش‌نوشتار

فوزولینی و سنگ میزان آنها را در البرز مرکزی و خاوری توصیف کردند. افزون بر آن، لیون و یاراحمدزه^۱ (Leven and Yarahmadzahi, 2020) فوزولین‌های سازند عمارت در برش گدوک واقع در البرز مرکزی را به صورت جامع و کامل مطالعه نموده‌اند. گروه ژاپنی و ایرانی (Iranian-Japanese Research Group, 1981) نیز فوزولین‌های گردآوری شده از ناحیه آباده را توصیف کرده‌اند. نتیجه این بررسی‌ها، شامل اطلاعات زیادی از ویژگی‌های مجموعه‌های فوزولینی تمام آشکوب‌های کربنیفر-پرمین ایران است. نهشته‌های کربنیفر و پرمین مرکز ایران (بلوک طبس) به طور گسترده مورد بررسی و مطالعه قرار گرفته‌اند که به عنوان مثال می‌توان به مطالعات اشتوكلین و همکاران (Stöcklin et al., 1965)، والیسر (Walliser, 1966)، روتتر و اشتوكلین (Ruttner et al., 1968)، استپانوف (Stepanov, 1971)، اشتوكلین (Stepanov, 1971)، شارکوفسکی و همکاران

فوزولین‌ها جزو شخص‌ترین، فراوان‌ترین و گسترده‌ترین گروه‌های روزن‌داران کربنیفر-پرمین هستند که به خوبی مطالعه شده‌اند، از این رو، اهمیت زیادی در چینه‌شناسی دارند. به طور مثال، فوزولین‌ها برای بررسی جزئیات دقیق و تعیین سن آشکوب‌های کربنیفر-پرمین مورد استفاده قرار گرفته‌اند. فوزولین‌های ایران از مدت‌ها پیش شناسایی شده‌اند اما تا کمی پیش تر توجه چندانی به آنها نشده بود، تا جایی که مطالعات افرادی مانند لیس و همکاران (Lys et al., 1978) و باغیانی (Baghbani, 1993) سرآغاز این پژوهش‌ها به شمار می‌روند. در سال ۱۹۷۸، لیس و همکاران (1978) لیستی از فوزولین‌های کربنیفر و پرمین البرز را منتشر کردند. طی سال‌های اخیر لیون و گرجیج (Leven and Gorgijj, 2011b) و یاراحمدزه^۱ (۱۳۹۰) به طور متصرک فوزولین‌های کربنیفر-پرمین و چینه‌شناسی ایران مرکزی و سنتدج-سیرجان را مطالعه کرده‌اند. همچنین، یک گروه از فسیل‌شناسان تحت نظرات گیتانی و همکاران (Gaetani et al., 2009) گونه‌های

* نویسنده مسئول: حامد یاراحمدزه^۱; E-mail: hamed.yarahmadzahi@gmail.com

مأخذنگاری:

چلالی، ع.، یاراحمدزه^۱، ح.، آرین، م.، سعیدی، ع.، آل‌علی، س.م.، ۱۴۰۲، چینه‌نگاری زیستی فوزولینیدهای سازند زلدو (ژیلین-آلی) در ایران مرکزی (ازبک کوه)، برش شیستو. فصلنامه علمی علوم زمین، ۱۴۰۲، ۱۲۸، ۲۸۳-۲۹۸. doi: 10.22071/GSJ.2022.341732.1998



dor: 10.1001.1.10237429.1402.33.2.1.0

حقوق معنوی مقاله برای فصلنامه علوم زمین و نویسنده‌گان مقاله محفوظ است.



This is an open access article under the by-nc/4.0/ License (<https://creativecommons.org/licenses/by-nc/4.0/>)

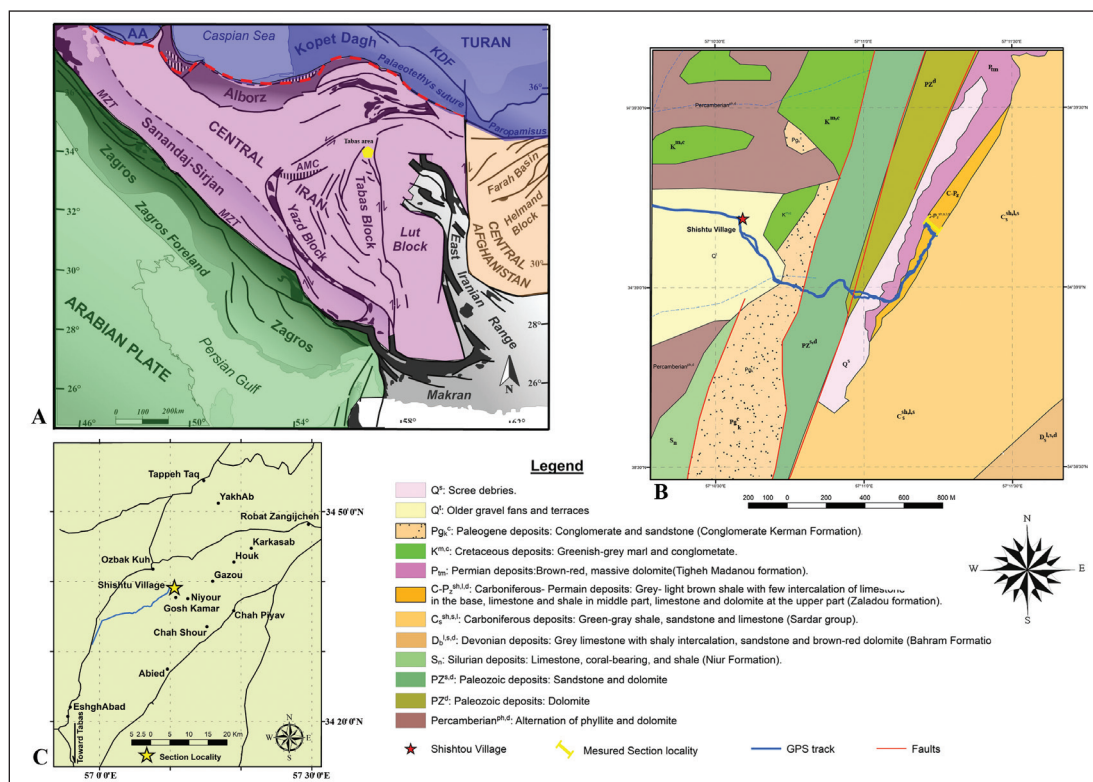
هدف از انجام این مطالعه، بررسی سنگ‌چینه‌نگاری و ریز‌چینه‌نگاری فوزولینیدهای در توالی‌های برش شیشتو است. بنابراین، سعی شده است تا برداشت نمونه‌های سیستماتیک، به سنگ‌چینه‌نگاری و سن دقیق توالی‌ها در این برش پی برده و مطالعات پیشنهادی را مورد بازنگری قرار داد. در این مطالعه تلاش شده است که پاره‌های از ابهامات موجود در برش الگوی سازند زلدو برطرف شود هر چند که ارائه الگوهای جدید و دقیق‌تر مستلزم مطالعات دقیق و همه جانبه زمین‌شناسی و فسیل‌شناسی است.

۲- چینه‌شناسی

در منطقه ازبک‌کوه توالی‌های بسیار کاملی از رسوبات کربنیفر و پرمین گزارش شده است (Stöcklin, 1971). از نظر ساختاری، منطقه ازبک‌کوه بخشی از ایران مرکزی و بلوک طبس (آقاباتی، ۱۳۸۳) است. توالی به نسبت کاملی ازین نهشته در برش شیشتو رخمنون دارد که با ناپیوستگی فرسایشی روی توالی‌های سازند آبشنا (مسکوین)، قرار می‌گیرد و توسط یک ناپیوستگی فرسایشی از توالی‌های پرمین، سازند باغ و نگ (بلورین) تفکیک می‌شود. این برش در خاور روسای شیشتو و در کوه‌های ازبک‌کوه واقع شده است. موقعیت جغرافیایی این برش در زون: ۵۱۶۱۶۴ UTMS 40 - ۳۸۳۴۵۹۹ می‌باشد و حدود ۱۵۰ کیلومتری جاده اصلی طبس به بشروئیه قرار دارد. از طریق یک جاده خاکی به مسافت ۶/۵ کیلومتر می‌توان به روسای شیشتو و از آنجا با پیمایش حدود ۱/۵ کیلومتر به برش مورد نظر رسید (شکل ۱).

Leven and Gorgij, 2011a,b (Sharkovski et al., 1984)، پرتوآذر (۱۳۷۴)، لیون و طاهری (Taheri, 2003)، Leven and Vaziri (2004)، عارفی‌فرد و دیویدف Leven and Gorgij, 2005، (Arefi fard and Davydov, 2004)، لیون و گرگیج (Badpa et al., 2011a,b)، یاراحمدزاده و همکاران (Yarahmadzahi and Vachard, 2018)، یاراحمدزاده و لیون (Yarahmadzahi and Leven, 2021)، گرگیج (Yarahmadzahi and Leven, 2021) و یاراحمدزاده (Yarahmadzahi and Leven, 2021) اشاره کرد. توالی‌های بسیار خوبی از رسوبات کربنیفر و پرمین در منطقه ازبک‌کوه و شمال شهر طبس (خاور ایران) گزارش شده است (Stöcklin, 1971). از نظر ساختاری، منطقه ازبک‌کوه بخشی از حوضه مرکزی ایران (بلوک طبس) (آقاباتی، ۱۳۸۳) است. اشتوكلین و همکاران (Stöcklin et al., 1965) سنگ‌چینه‌ای کربنیفر و پرمین پیشین در مرکز و خاور ایران را به عنوان سازند سردر معروفی کرده‌اند. لیون و طاهری (Leven and Taheri, 2003) رسوبات زیلین-آسلین را از بالاترین بخش سازند سردر به عنوان یک عضو جدید (عضو (ممبر) زلدو) متمایز کرده‌اند و فوزولینیدهای زیلین-آسلین این توالی‌ها را توصیف کرده‌اند. لیون و گرگیج (Leven and Gorgij, 2006) پیشنهاد کردند که این عضو ارتقا یافه و به عنوان سازند زلدو شناخته شود. آنها همچنین بر این باورند که قسمت باقی‌مانده از (سازند سردر) به درجه گروه ارتقا یابد، و آن را گروه انارک نامیده‌اند که به سازندهای زلدو و تبع معدن‌نو تقسیم می‌شود.

در منطقه ازبک‌کوه، گروه انارک بر روی سازندهای آبشنا (به سن مسکوین) و خود توسط سازند باغ و نگ (به سن بلورین) پوشانده شده است (Yarahmadzahi and Vachard, 2018; Leven and Taheri, 2003;).



شکل ۱- موقعیت برش مورد مطالعه، (A) نقشه پهنه‌های ساختاری رسوبی ایران (بر گرفته از زانچی و همکاران- ۲۰۰۹) (B) (Zanchi et al., 2009)، (B) نقشه زمین‌شناسی برش شیشتو (بر گرفته از روتتر و همکاران- ۱۹۷۰)، (C) (Ruttner et al., 1970)، (C) موقعیت جغرافیایی و راه‌های دسترسی به برش شیشتو. نشانگر ستاره برش مورد مطالعه (بر گرفته از جلالی و همکاران- ۲۰۲۱). (Jalali et al., 2021).

Figure 1. The location of the studied section, A) Map of sedimentary structural zones of Iran (adopted from Zanchi et al., 2009), B) Geological map of Shishtu section (adopted from Ruttner et al., 1970), C) Location and access roads to the Shishtu section (taken from Jalali et al., 2021).

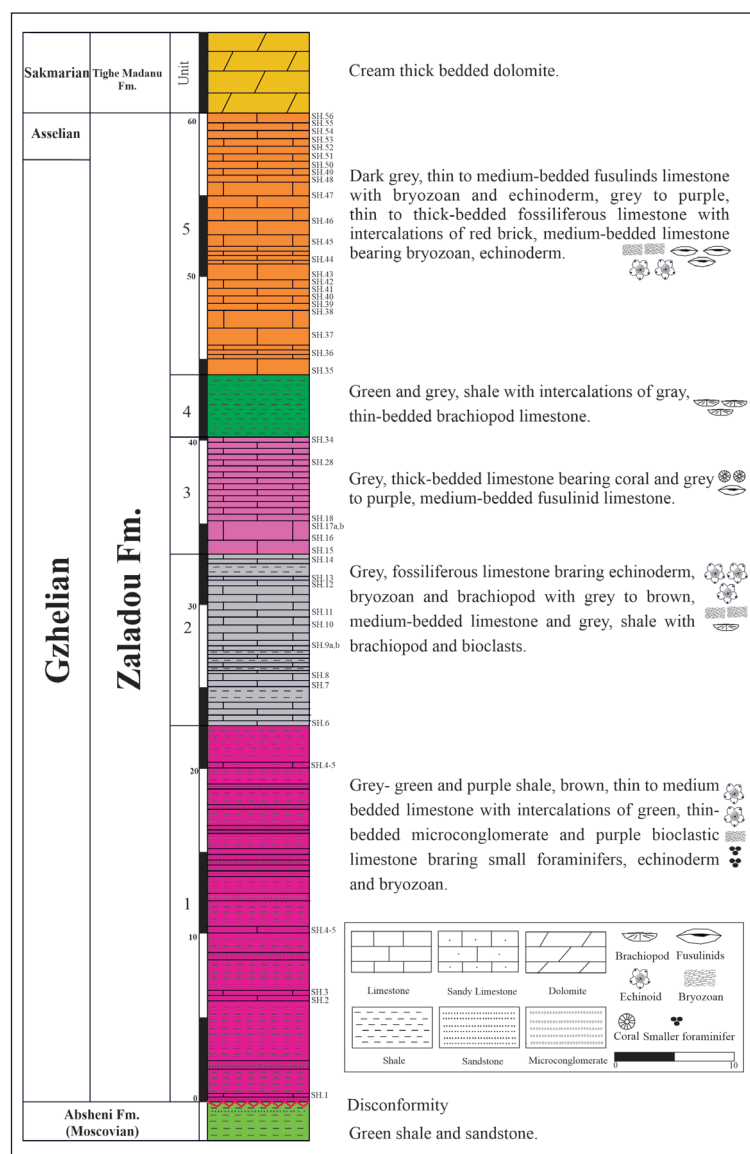
۳- روش مطالعه

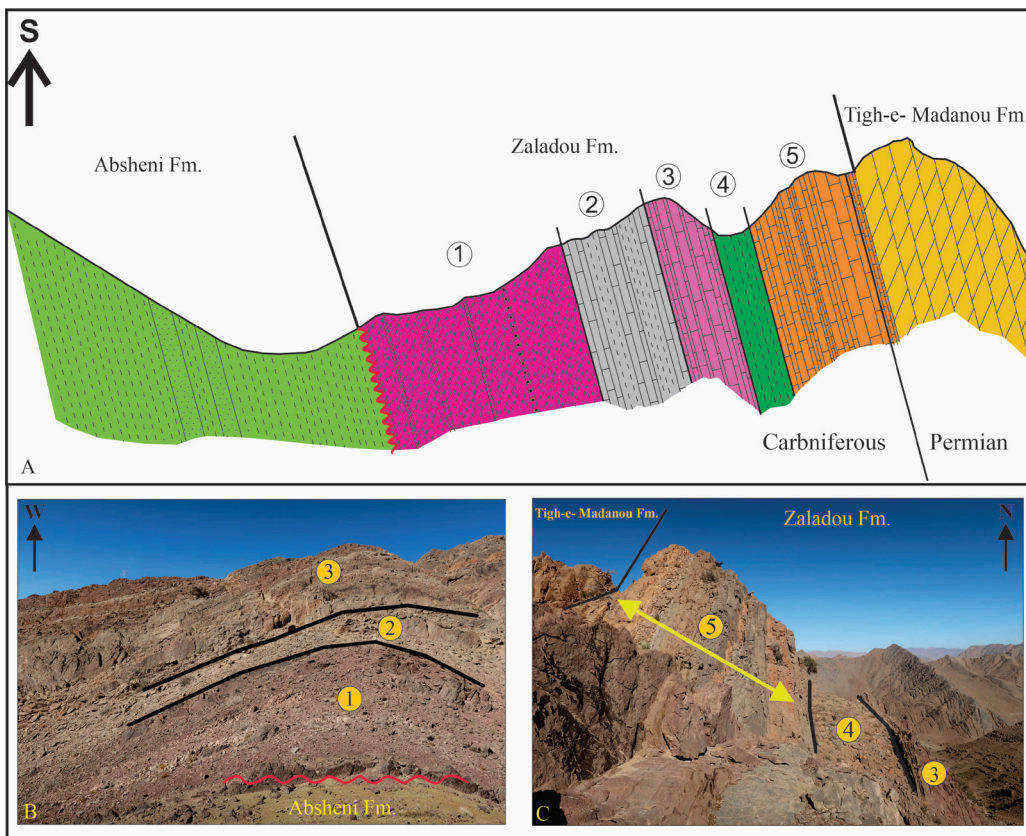
- سازند آبشنی (مسکووین) قرار می‌گیرد.
- واحد یک (۲۴/۳ متر): شیل‌های خاکستری، سبز و ارغوانی و ماسه‌سنگ‌های نازک تا متوسط لایه قهقهه‌ای با بین‌لایه‌هایی از میکرو-کنگالومرای سبز رنگ نازک‌لایه و سنگ آهک ماسه‌ای با یوکلاست دار حاوی روزن‌بران کوچک، اکینودرم و بریوزوئر.
- واحد دو (۱۰/۳ متر): سنگ آهک‌های خاکستری حاوی روزن‌بران کوچک، اکینودرم، بریوزوئر و برآکیوپودا، به همراه سنگ آهک‌های متوسط لایه خاکستری تا قهقهه‌ای و شیل خاکستری حاوی برآکیوپودا.
- واحد سه (۶/۹۵ متر): سنگ آهک منجانی ستبر لایه خاکستری و سنگ آهک فوزولینیدی نازک تا متوسط لایه خاکستری و ارغوانی.
- واحد چهار (۳/۸ متر): شیل سبز و خاکستری با بین‌لایه‌های نازک سنگ آهک حاوی برآکیوپودا.
- واحد پنج (۱۴/۴۵ متر): سنگ آهک نازک و متوسط لایه خاکستری حاوی بریوزوئر و اکینودرم و سنگ آهک‌های فوزولینیدار نازک تا ستبر لایه خاکستری و ارغوانی با بین‌لایه سنگ آهک آجری ستبر لایه حاوی بریوزوئر، اکینودرم و روزن‌بران کوچک.
- رأس: با مرز پیوسته توسط دولومیت‌های نخودی رنگ سازند تیغ معدنو (ساقمارین) پوشیده می‌شود.

این پژوهش در چهار بخش انجام گردید، بخش اول، گردآوری مقالات و منابع در خصوص جنس و گونه‌های فوزولینیدها، بخش دوم، شامل مطالعات صحرایی، نمونه‌برداری و اندازه‌گیری واحدهای سنگی است که نمونه‌برداری از توالی‌ها به صورت سیستماتیک و به فواصل ۱۰ سانتی‌متر تا ۱ متر در سنگ‌های آهکی انجام گردید. بخش سوم، تهیه مقاطع نازک که در اندازه کوچک (۲/۵×۷/۵ سانتی‌متر مربع) به تعداد ۱۰۰ مقطع و اندازه بزرگ (۵×۱۰ سانتی‌متر مربع) به تعداد ۱۰ مقطع تهیه گردید. بخش چهارم، مطالعه میکروسکوپی (تشخیص و شناسایی جنس و گونه‌های فوزولینید) که توسط میکروسکوپ Leitz Wetzlar (Laborlux 11 pol) Superior Statistical Analysis Pro نرم‌افزار (with version 9.0 of LIMDEP, 2008) و تهیه عکس از مقاطع توسط نرم‌افزار گرفته است.

۴- سنگ‌چینه‌نگاری

- ۱- چینه‌نگاری سنگی نهشته‌های کربنیفیر پسین - پرمین پیشین در برش شیشتو واحد سنگ چینه‌ای زلدو در برش شیشتو با حدود ۶۰ متر سترا در کوه‌های ازیک کوه و خاور روستای شیشتو رخمنو دارد و بر پایه مطالعات و شواهد صحرایی به پنج واحد سنگی از پایین به بالا تفکیک می‌شود (شکل ۲ و ۳).
- قاعده: با نایپوستگی فراسایشی بر روی نهشته‌های سبز رنگ شیل و ماسه‌سنگ‌های





شکل ۳- نیمرخ برش شیشتو و تصاویر تفکیک واحدهای سنگی شامل واحد یک: شیل‌های خاکستری، سبز و ارغوانی و ماسه‌سنگ‌های نازک تا متوسط لایه قوه‌های با بین‌لایه‌هایی از میکرو-کنگلومراهی سیز رنگ نازک لایه و سنگ آهک ماسه‌ای با یوکلاست‌دار حاوی روزنبران (فرامینیفرها) کوچک، اکینودرم و بریوزوئر. واحد دو: سنگ آهک‌های خاکستری حاوی روزنبران کوچک، اکینودرم، بریوزوئر و برآکیوپودا. به همراه سنگ آهک‌های متوسط لایه خاکستری تا قهوه‌ای و شیل خاکستری حاوی برآکیوپودا. واحد سه: سنگ آهک مر جانی ستبر لایه خاکستری و سنگ آهک فوزولینیدی نازک تا متوسط لایه خاکستری و ارغوانی. واحد چهار: شیل سبز و خاکستری با بین‌لایه‌های نازک سنگ آهک حاوی برآکیوپودا. واحد پنج: سنگ آهک نازک و متوسط لایه خاکستری حاوی بریوزوئر و اکینودرم و سنگ آهک‌های فوزولینیدار نازک تا ستبر لایه خاکستری و ارغوانی با بین‌لایه سنگ آهک آجری ستبر لایه حاوی بریوزوئر، اکینودرم و روزنبران کوچک.

Figure 3. Shishtu cross section and images of rock units including Unit 1: Gray to green and purple shales and brown thin to medium bedded sandstones with intercalations of thin-bedded micro-conglomerates and sandy limestone, contains small foraminifers, echinoderms and bryozoans. Unit 2: Gray limestone containing small foraminifera, echinoderms, bryozoans and brachiopoda, with medium bedded gray limestone and gray to brown brachiopoda bearing shale. Unit 3: Gray thick bedded coral bearing limestone, and gray to purple thin to medium fusulin bearing limestone. Unit 4: Green to gray shale with thin intercalations of limestone which containing brachiopoda. Unit 5: Gray thin to medium bedded limestone containing bryozoans and echinoderms with gray to purple thin to thick bedded fusulinid limestone and intercalation of brick color limestone containing bryozoans, echinoderms and small foraminifers.

۵- زیست‌چینه‌نگاری فوزولینیدهای

ex gr. *kaikarensis*, *Sch. cf. acutatus*, *Ruzhenzevites cf. praeserganensis*, *R. ferganensis*, *R. zalanduensis*, *Triticites shikhanensis*, *T. tersus*, *T. domesticus*, *T. ovalis*, *T. karlensis*.

مهم‌ترین ویژگی این مجموعه تنوع جنس‌های *Triticites* می‌باشد، جنس‌های یاد شده گویای سن کربنیفر پسین (زیلین) برای این مجموعه است. گونه‌هایی از این فوزولینیدهای از برش الگوی سازند زلدو توسط لیون و طاهری (Leven and Taheri, 2003) و همچنین از سازند تویه و عمارت از پنهان ساختاری البرز توسط گیتانی و همکاران (Gaetani et al., 2009) و همچنین

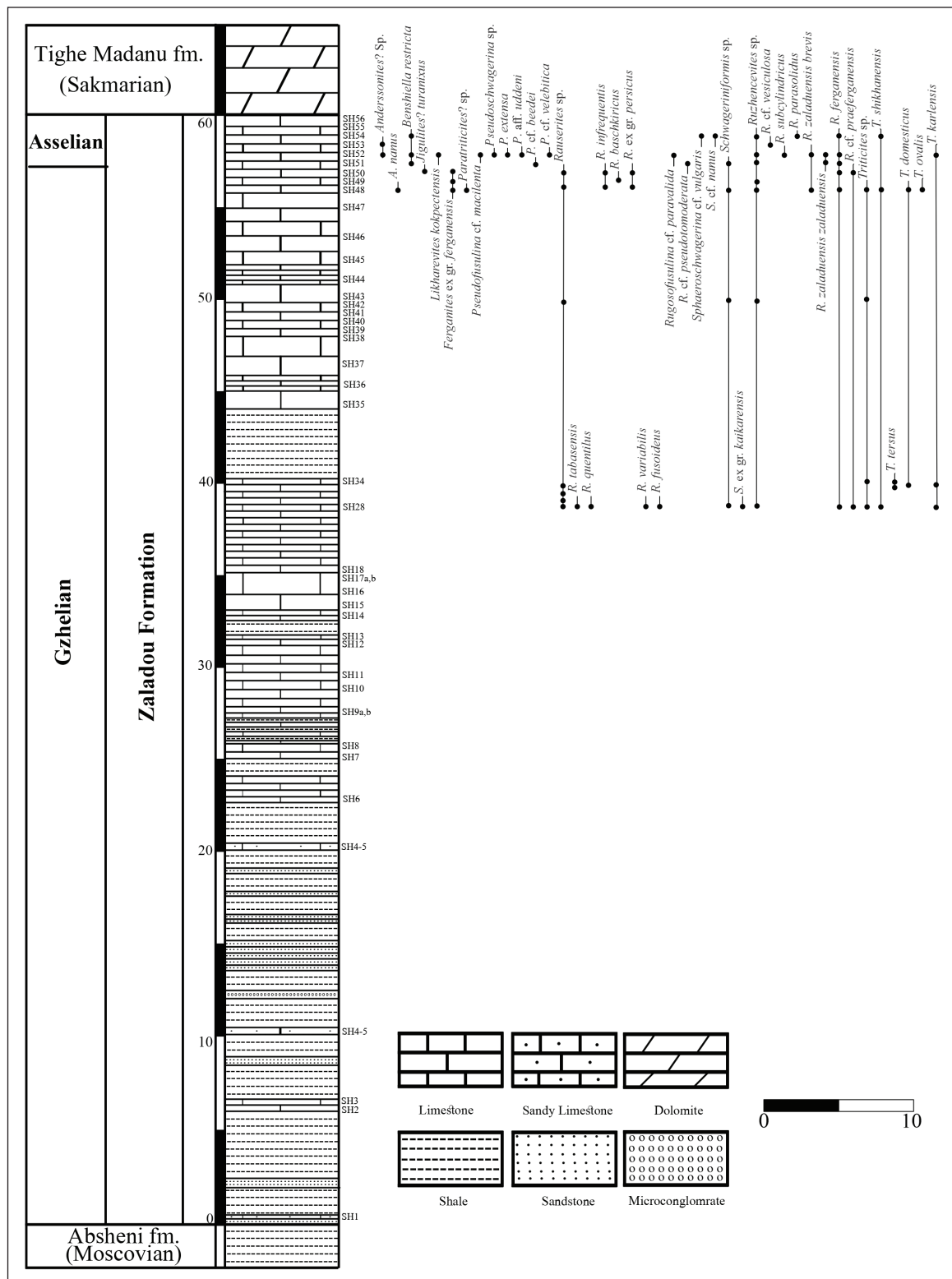
بر اساس پخش و پراکندگی فوزولینیدهای در برش شیشتو، دو مجموعه شناسایی شدند که عبارتند از (Plate 1-3):

Ruzhenzevites-Rauserites-Triticites Assemblage zone

این زیست‌زون در بخش‌های بالای واحد ۳ تا بخش میانی واحد ۵ از نمونه‌های ۲۸ تا ۵۰ شناسایی شده است که شامل گونه‌های زیر می‌باشد (شکل ۴ و ۵). *Jigulites turanicus*, *Ferganites ex gr. ferganensis*, *Paratriticites? sp.*, *Rauserites infrequentis*, *R. tabasensis*, *R. quentilus*, *R. baschkiricus*, *R. ex gr. persicus*, *R. variabilis*, *R. fusoides*, *Schwageriniformis cf. nanus*, *Sch.*

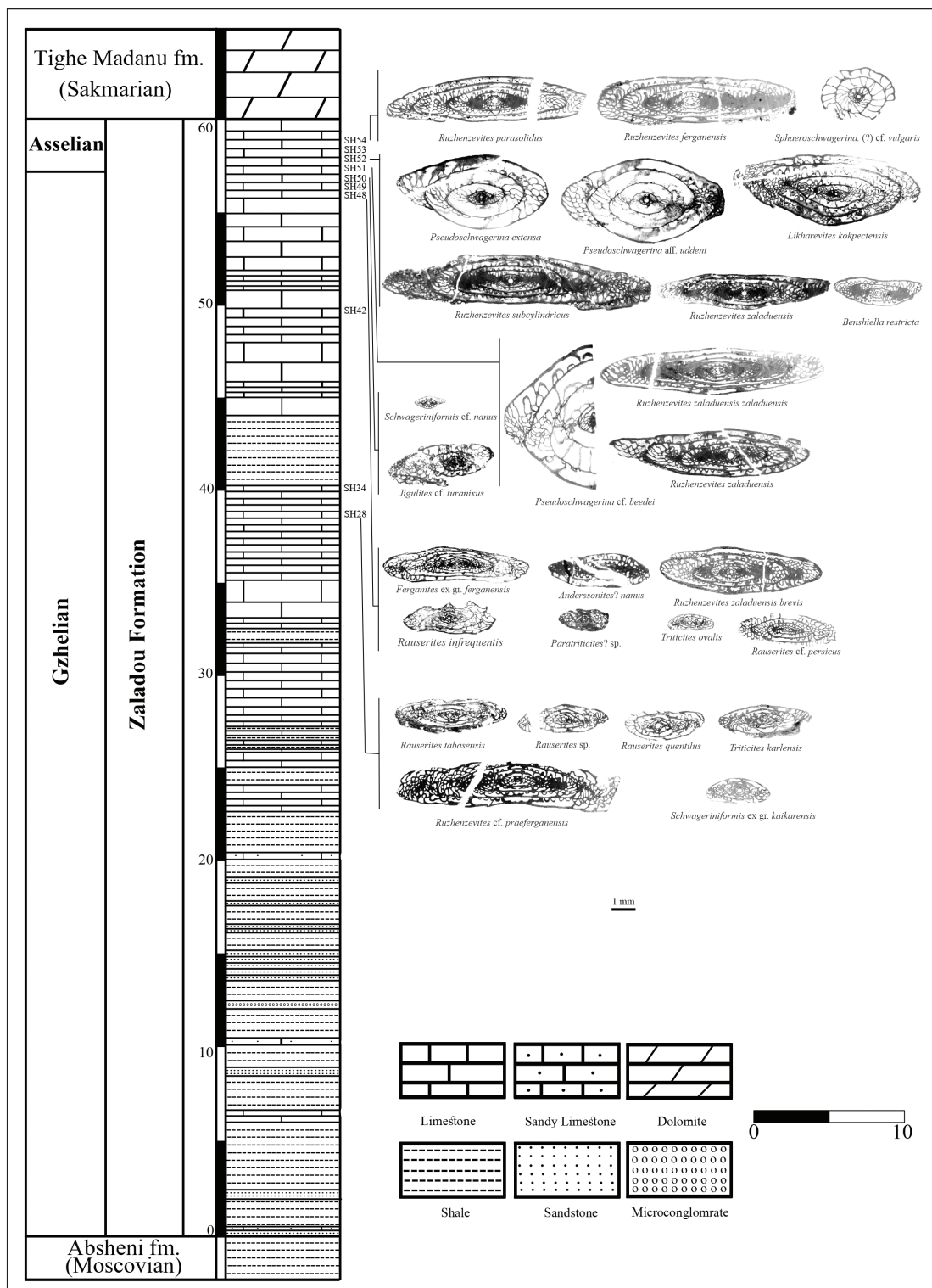
جنوب فرگانا و دارواس (Darvas) که به عنوان یک زون مستقل شناسایی شده‌اند، با زون *Daixina kensis* متعلق به ژیلین قابل تطابق است (مقطع تیپ آن در پلت فرم اروپای خاوری واقع شده). اگرچه *Ruzhenzevites* از مقاطع پلاترiform *Dutkevitchia*, *Triticites*, *Daixina*, *Rauzerites*, *Rugosofusulina*, *Schellwinia*, *Quasifusulina* زون *Ruzhenzevites ferganensis* از آسیای مرکزی هستند.

لیون و یاراحمدزاده (Leven and Yarahmadzahi, 2020) و سازند و زنان در برش اسدآباد در زون سنتدج سیرجان که توسط یاراحمدزاده (۱۳۹۰) و لیون و گرجی (Leven and Gorgij, 2011) گزارش شده‌اند (شکل ۶). گونه شاخص *Ruzhenzevites ferganensis* به طور گسترده‌ای در نواحی تیس از کارنیان آپ در باخترا تا جنوب چین در خاور گسترده شده که شاخص سنگ‌های کربنیfer پسین است. به باور بشن (Davydov, 1986) و دیویدوف (Bensh, 1972) *R. ferganensis* لايهای حاوی



شکل ۴- نمودار پراکنده‌گی فوزولینیدهای برش شیشتو.

Figure 4. Distribution diagram of Fusulinids in Shishku section.



شکل ۵- نمودار پراکندگی فوزولینیدهای شاخص در برش شیشتو.

Figure 5. Distribution diagram of the indicator fusulinids in Shishtu section.

Ruzhenzevites zaladuensis, *R. parasolidus*, *R. subcylindricus*, *R. cf. vesiculosa*, *Rugosofusulina cf. paravalida*, *R. cf. pseudotomoderata*, *Pseudofusulina cf. macilenta*, *Bensiella restricta*, *Anderssonites manus*.

مهم‌ترین ویژگی این زیست‌زون، تنوع گونه‌های جنس *Ruzhenzevites* و *Pseudoschwagerina* و *Likharevites* از جنس *Sphaeroschwagerina* و *Ruzhenzivites* و *Sphaeroschwagerina* و *Likharevites* kokpectensis، *Sphaeroschwagerina* cf. vulgaris،

Pseudoschwagerina-Likharevites Assemblage zone

این زیست‌زون در بخش‌های بالای واحد ۵ از نمونه‌های ۵۶ تا ۵۱ شناسایی شده است که شامل گونه‌های زیر می‌باشد (شکل ۴ و ۵):

Pseudoschwagerina extensa, *P. aff. uddeni*, *P. cf. beedei*, *Pseudoschwagerina cf. velebitica*, *Likharevites kokpectensis*, *Sphaeroschwagerina* cf. vulgaris,

همچنین، فراوانی این گونه‌ها با لایه‌های آسلین از ناحیه فرگانا همخوانی دارد (Davydov, 1986) و سن آسلین را برای آن تأیید می‌نماید.

می‌باشد. گونه‌های شاخص این جنس‌ها در بیشتر پهنه‌های ساختاری ایران (ایران مرکزی، البرز و سندج- سیرجان) سن آسلین را نشان می‌دهند (شکل ۶).

System	Stage	Shishtu Section (This study)	Central Alborz Geatani et al. 2009 Leven and Yarahmadzahi 2020	Anarak (Leven and Gorgij, 2006)	Zaladou (Leven and Taheri, 2003)	Asad Abad (Leven and Gorgij, 2011)
Permian	Asselian		<i>Zelia praerheritschi elongata</i>			
		<i>Ruzhenzevites parasolidus</i>	<i>Praepsudofusulina kljasmica</i>			
		<i>Likharevites kokpectensis</i>	<i>P. saratovensis</i>			
		<i>Pseudoschwagerina cf. beedei</i>	<i>P. urumarensis</i>			
		<i>Pseudoschwagerina uddeni</i>	<i>Pnetkatchensis</i>			
		<i>Pseudoschwagerina extensa</i>	<i>Pimpercsepta</i>			
		<i>Sphaeroschwagerina</i>	<i>Pseudoschwagerina muongthensis</i>			
Carboniferous	Gzhelian		<i>P. aff. extensa</i>			
			<i>Paequalis</i>			
			<i>Triticites aff. mosquensis</i>	<i>Sphaeroschwagerina moelleri</i>		
			<i>T. shikhamensis compactus</i>		<i>Quasitriticites</i>	
			<i>Sphaeroschwagerina vulgaris</i>	<i>Likharevites gracilis</i>		
		<i>Ruzhenzevites ferganensis</i>	<i>Anderssonites cf. subovata</i>	<i>Anderssonites anserssoni</i>	<i>Pseudofusulina saratovensis</i>	<i>Praepsudofusulina</i>
		<i>Ruzhenzevites zalaoluensis</i>	<i>Rauserites tabasensis</i>	<i>Ultradaixina bosbytaunensis</i>		
		<i>Ruzhenzevites paaferganensis</i>	<i>Rauserites infrequentis</i>	<i>Ruzhenzevites ferganensis</i>		
		<i>Ferganites ex gr. ferganensis</i>	<i>Ruzhenzevites ferganensis</i>	<i>Jigulites cf. formosus</i>		
		<i>Schwageriniformis cf. namus</i>		<i>Rauserites rossicus</i>		
		<i>Jigulites? turanixus</i>				
		<i>Rauserites fusoidens</i>				
		<i>Rauserites tabasensis</i>				
		<i>Rauserites variabilis</i>				
		<i>Rauserites baschkiricus</i>				
		<i>Rugosafusulina cf. paravalida</i>				
		<i>Triticites tersus</i>				
		<i>Triticites domesticus</i>				
		<i>Triticites ovalis</i>				

شکل ۶- مقایسه فونای برش‌های زلدو، انارک، اسدآباد و البرز مرکزی با برش شیشتو.

Figure 6. Fauna comparison of Zaladou, Anark, Asadabad and Central Alborz sections with Shishtu section.

۶- بحث

در بالا، جنس‌های *Ultradaxina Schellwienia*, *Anderssonites* و *Likharevites* نیز یافت شده‌اند. در بلوک‌های دیگر، فواصل چینه‌نگاری یا فقد این جنس‌ها هستند یا آن‌که فوزولین‌های دیگری ظاهر می‌شوند، و نمونه‌های مهم و قابل توجه از جنس‌های *Anderssonites* در سازند تویه (زون البرز)، که توسط گیتانی و همکاران (Gaetani et al., 2009) معرفی شده‌اند، و یا جنس‌های *Anderssonites* و *Schellwienia* از سازند زلدو (بلوک طبس)، هستند. در مورد زون سندج- سیرجان مجموعه فوزولینی براساس فراوانی و گوناگونی جنس‌های *Ruzhenzevites* تعیین می‌شود، در حالی که این جنس در بلوک‌های یزد و البرز اهمیت کمتری دارد. نکته شایان توجه در برش الگوی سازند زلدو که در مجاورت برش مورد مطالعه (شیشتو) قرار دارد، این است که بیشترین فراوانی مربوط به جنس‌های *Rauserites* در بخش‌های پایین و ظهور گونه‌هایی از جنس *Ruzhenzevites* در بخش‌های بالایی است. در حالی که در برش مورد مطالعه بیشترین فراوانی مربوط به جنس‌های *Ruzhenzevites*, *Rauserites*, *Triticites*, *Schwageriniformis* می‌باشد که

در بیشتر پهنه‌های ساختاری - روسیه ایران، به جز فوزولین‌های مربوط به آشکوب کازمووین، سایر فوزولین‌های مربوط به زمان کربنیفر - پرمین شناسایی شده‌اند؛ این روزنبران به خوبی در توالی‌هایی از کربنیفر پیشین تا پرمین پسین مورد بررسی قرار گرفته‌اند. در توصیف فوزولین‌های کربنیفر پسین و بهویژه آشکوب ژیلین ایران باید توجه داشته باشیم که گونه‌های شناسایی شده از ایران نسبت به مجموعه‌های گزارش شده در خاور پلتفرم اروپا از تنوع کمتری برخوردار هستند (Leven and Gorgij, 2011a,b) و به نظر می‌رسد مطالعه دقیقی بر روی فوزولین‌های ایران انجام نشده است. تعداد زیادی از فوزولین‌های شناسایی شده در برش شیشتو که از جنس‌های *Rauserites*, *Triticites*, *Ruzhenzevites*, *Schwageriniformis* می‌باشند، با نمونه‌های شناسایی شده از حوضه خاور اروپا متفاوت هستند، ولی ویژگی‌های مشترکی با مجموعه‌های یافت شده در حوضه شمال تیتیس دارند. در مطالعات لیون و گرگیج (Leven and Gorgij, 2011a,b) که بر روی پهنه‌های ساختاری روسیه مختلفی انجام شده، نشان می‌دهد که در بلوک ایزد افزون بر جنس‌های اشاره شد

R. cf. vesiculosus, Rugosofusulina cf. paravalida, R. cf. pseudotomoderata, Pseudofusulina cf. macilenta, Benshiella restricta.

این نمونه‌ها از بیشتر برش‌های آسلین ایران گزارش شده‌اند.

۷- نتیجه گیری

به طور کلی با مطالعه رسوبات برش شیشتو در ناحیه ازبک کوه نتایج زیر به دست آمده است:

- سبرای توالی‌های مورد مطالعه در برش شیشتو ۶۰ متر بوده که به پنج واحد سنگی تقسیم شده است که عمدتاً شامل ماسه‌سنگ، ماسه‌سنگ آهکی، شیل، سنگ‌آهک ماسه‌ای، سنگ‌آهک مرجانی و سنگ‌آهک فوزولینیدهای با بین لایه‌های نازک میکروگنگلومرا می‌باشد.

- در برش شیشتو (سازند زلدو)، ۱۵ جنس، ۳۵ گونه و ۲ زیر گونه از فوزولین‌ها شناسایی شده که برخی از گونه‌ها برای نخستین بار از ایران گزارش می‌شود.

- بر اساس پخش و پراکندگی فوزولینیدهای زون زیستی-*Ruzhenzevites-Rauserites*-*Pseudoschwagerina*-*Triticites Assemblage zone* به سن ژیلین و زون زیستی-

Likharevites Assemblage zone به سن آسلین شناسایی شدند.

- زون‌های زیستی فوزولینیدهای شناسایی شده در برش شیشتو قابل مقایسه با زون‌های زیستی گزارش شده از نواحی دارواز، فرگانا، اورال جنوبی، حوضه دونتسک و کارنیک آلب، انارک، البرز مرکزی و زون سندج- سیرجان می‌باشد.

- در برش مورد بررسی، نهشته‌های ژیلین به سمت بالا به صورت تدریجی به رسوبات آسلین می‌رسد، که در نمونه سنگی شماره ۵۱ و با ظهور جنس *Pseudoschwagerina* مشخص می‌شود.

- مقایسه برش‌های مطالعه شده با توالی‌های هم‌ارز در زون‌های ساختاری- رسوبی ایران از جمله ایران مرکزی، البرز مرکزی و زون سندج سیرجان بیانگر پیشروی گسترده دریا در اواخر کربنیفر و ابتدای پرمین در بخش‌های گسترده‌ای از ایران بوده است.

- دولومیت‌های بخش بالایی سازند زلدو (سازند تیغ معدن) فاقد فسیل بوده و بر اساس این که بر روی توالی‌های آسلین و توالی‌های سازند باغ ونگ (بلورین) قرار دارند به سن ساکمارین دانسته شده‌اند.

سپاسگزاری

بدون شک، سرانجام این پژوهش را مدیون تمام کسانی هستیم که به هر شکلی نگارندگان را یاری کردند. تشکر ویژه از دوست عزیز احسان آجودانی داریم که در برداشت‌های صحراوی همراهان بود، همچنین از تمام دوستان از جمله دکتر سیامک هاشمی، دکتر سید جعفر عمرانی، مهندس رضا سلامتی، که در مراحل مختلف عملیات صحراوی و کار آزمایشگاهی و کمک در ویرایش مقاله از کمک‌ها و نظراتشان بهره‌های فراوان برده‌ایم، تشکر و قدردانی می‌نماییم.

همچنین بر خود لازم می‌دانیم که از داوران گرامی که زحمت داوری و تصحیح این مقاله را به عهده داشتند و با یادآوری ایرادات و نقطه نظرات اصلاحی در هر چه کامل‌تر شدن این مقاله کمک کرده‌اند، تقدیر و تشکر نماییم.

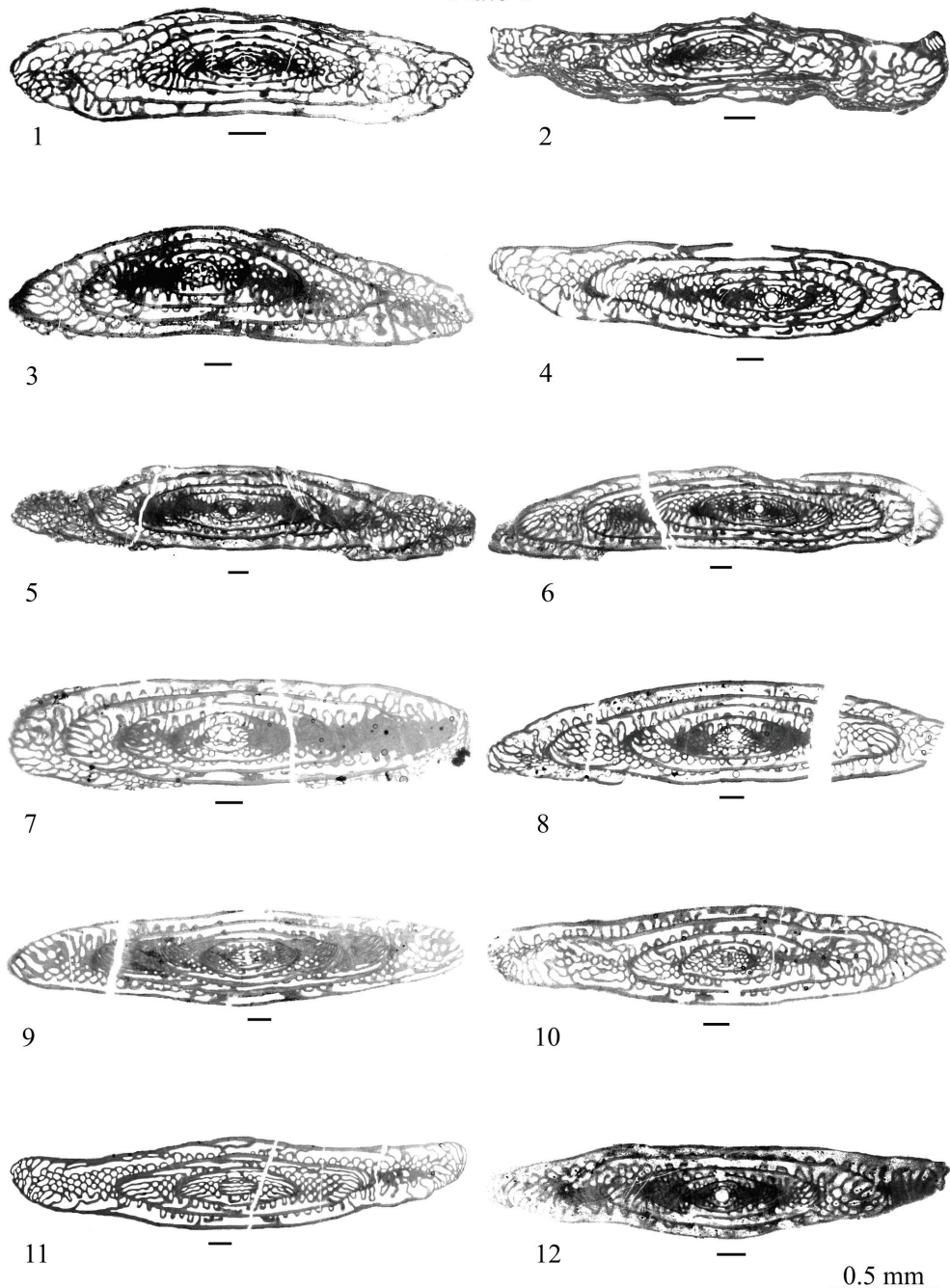
با مجموعه فوزولینی برش اثار که در بلوک یزد کاملاً همخوانی دارد.

در پرمین پیشین تعداد زیادی از فوزولین‌های کروی تا نیمه کروی با دور پیچش‌های زیاد و حجمی مربوط به جنس‌های *Sphaeroschwagerina* هستند که پیدایش آنها نشانگر قاعده آشکوب آسلین (Asselian) است، همچنین جنس‌های *Likharevites*, *Dutkevitchia*, *Quasifusulina*, *Pseudofusulinoides*, *Likharevites*, *Ruzhenzevites*, *Pseudoschwagerina* در اوآخر آشکوب ژیلین (Gzhelian) ظاهر می‌شود و به سرعت در آشکوب آسلین پراکنده می‌شود. در رسوبات بخش‌های بالای آشکوب آسلین *Likharevites* با جنس‌های دیگری جایگزین می‌شود این فرم‌ها در گذشته به عنوان *Paraschwagerina* از قاره شناخته می‌شد. با در نظر گرفتن منشا مستقل و معتبر (Leven and Gorgij, 2011a,b) بر این باور هستند که فوزولین‌های یاد شده می‌باشد مربوط به یک زیر گونه از *Likharevites* باشد یا به یک جنس دیگر، تعلق داشته باشند. جنس *Pseudoschwagerina* در بخش‌های بالاتر نسبت به جنس‌های *Sphaeroschwagerina* و *Likharevites* ظاهر شده و به *Ruzhenzevites* و *Quasifusulina* و آشکوب ساکمارین نیز وارد می‌شوند. جنس‌های *Quasifusulina* و *Pseudofusulinoides* که غالباً در رسوبات آسلین دیده می‌شوند، در لایه‌های مربوط به ژیلین نیز وجود داشته‌اند، در حالی که فوزولین‌های جنس *Pseudofusulinoides* فقط مربوط به *Sphaeroschwagerina fusiformis*, *S. shamovi*, *S. moelleri*, *S. notabilis*, *S. ellipsoidalis*, *Pseudoschwagerina robusta*, *P. extensa*, *P. turbida*, *P. beedei* برش الگوی سازند زلدو (Leven and Taheri, 2003) و سپس در بلوک یزد (Leven and Gorgij, 2006) معرفی شده‌اند که این مجموعه بیانگر سن آسلین است. افزون بر این، گونه‌های *Sphaeroschwagerina sphaerica*, *Pseudoschwagerina velebitica*, *P. gadukensis*, *P. aff. Extensa*, *P. aff. Confinii*, *P. aff. Aequalis*, *Zellia aff. heritschi magnae-sphaerae*, *Z. aff. praehleritschi*, *Z. aff. heritschi Gaetani et al., 2009*, که از قسمت‌های بالایی سازند عمارت (Leven and Yarahmadzahi, 2020) از بخش‌های خاوری و مرکزی البرز به دست آمده بدون هیچ تردیدی نشان‌دهنده آشکوب آسلین است، همچنین شناسایی گونه‌های *Praepseudofusulina klasmica* و *Pseudoschwagerina beedei* به بخش میانی سازند و زنان در زون سندج - سیرجان (Leven and Gorgij, 2011a,b)؛ یاراحدزه‌های (۱۳۹۰)، گویای همسانی این گونه‌ها با نمونه‌هایی است که از آمریکا، اروپای خاوری و حوضه تیس به سن آسلین گزارش شده‌اند. در بلوک سبزوار (Gorgij and Leven, 2013) نیز گونه‌های زیر به سن آسلین گزارش شده‌اند.

Rugosofusulina ex gr. serrata, *Sphaeroschwagerina pavlovi*, *Sph. Moelleri*, *Sph. Constans*, *Sph. Shamovi*, *Sph. cf. ovoidea*, *Sph. ex gr. fusiformis*, *Pseudoschwagerina uralensis*, *P. aktubensis*, *P. aff. truncata* در برش مورد مطالعه (شیشتو) فوزولین‌های آسلین با ظهور گونه‌های زیر مشخص می‌شود.

Pseudoschwagerina extensa, *P. aff. uddeni*, *P. cf. beedei*, *Pseudoschwagerina cf. velebitica*, *Likharevites kokpectensis*, *Sphaeroschwagerina cf. vulgaris*, *Ruzhenzevites zaladuensis*, *R. parasolidus*, *R. subcylindricus*,

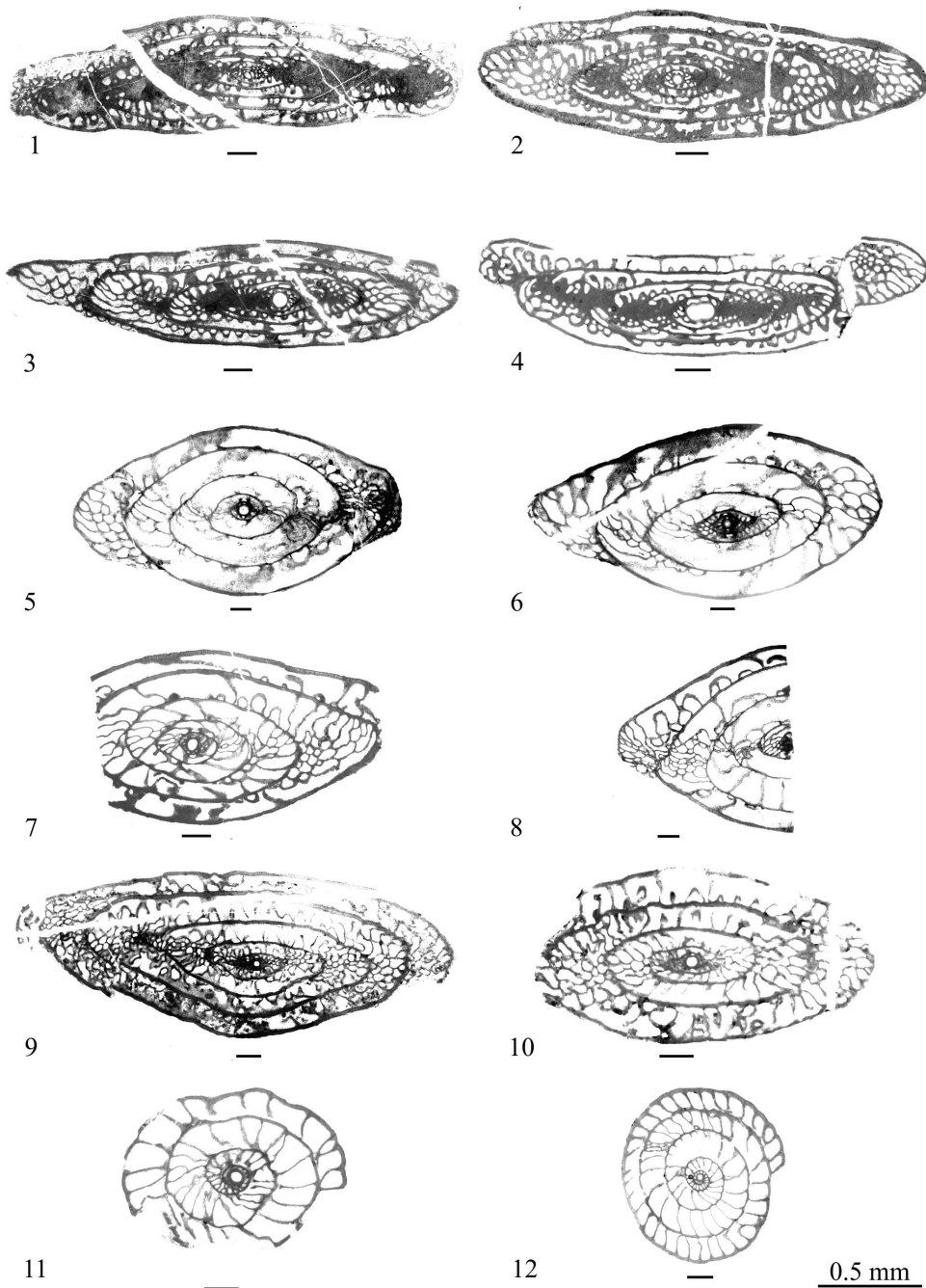
Plate 1



Fusulinids from the Shishtu section. Magnification is x 10 in all figs. (scale bar D= 0.5 mm).

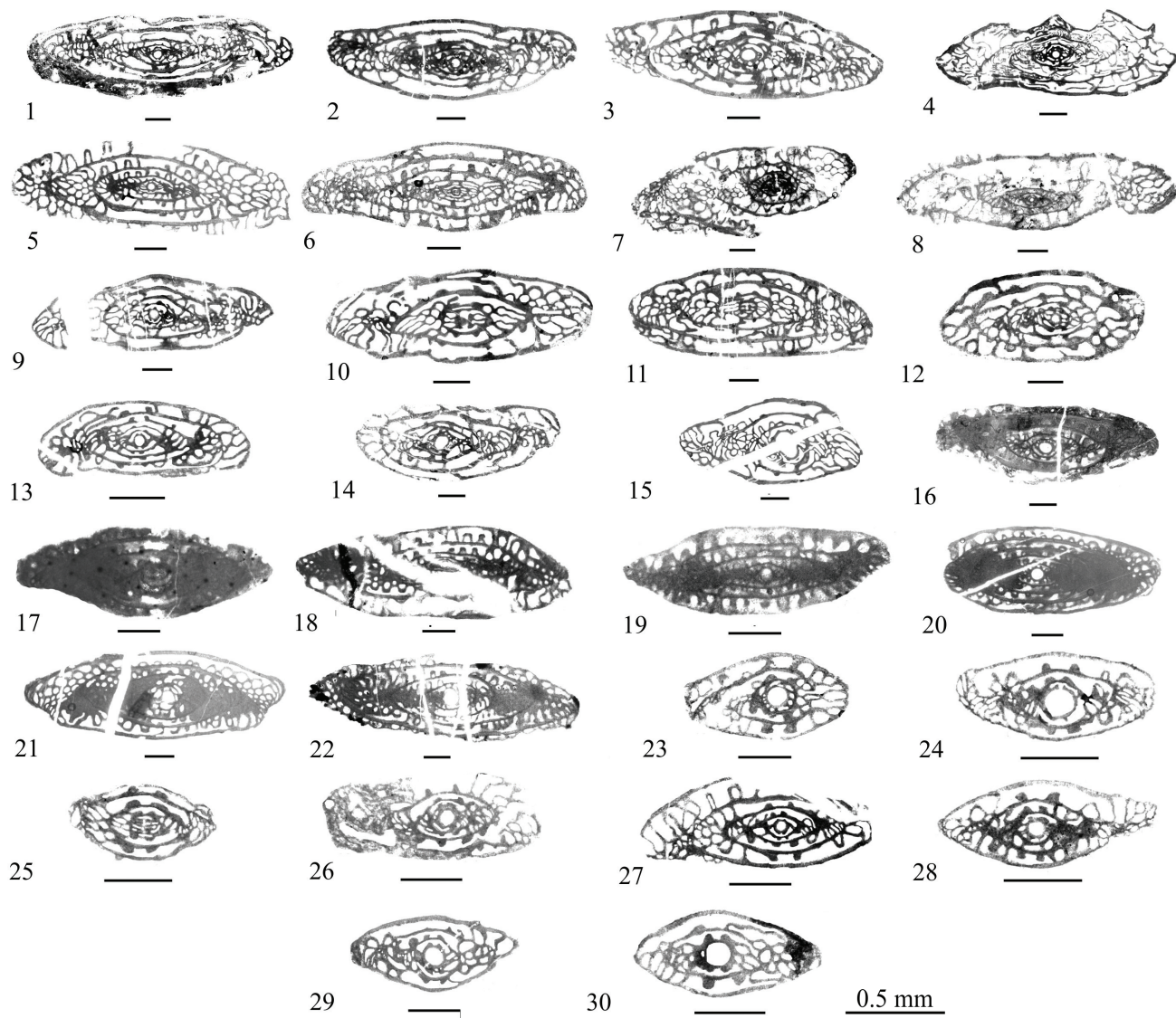
Fig. 1. *Ferganites* ex gr. *ferganensis* M.-Maclay, axial section, sample SH 48; **Fig. 2.** *Ruzhenzevites* cf. *praeferganensis* Davydov, tangential section, sample SH 28; **Fig. 3.** *Ferganites* ex gr. *Ferganensis* Miklukho-Maklay, subaxial section, sample SH 49; **Fig. 4.** *Ruzhenzevites* cf. *praeferganensis* Davydov, axial section, sample SH 50; **Fig. 5.** *Ruzhenzevites subcylindricus* (Bensh), axial section, sample SH 52; **Fig. 6.** *Ruzhenzevites subcylindricus* (Bensh), axial section sample SH 52; **Fig. 7.** *Ruzhenzevites ferganensis* (Dutkevich), axial section, sample SH 54; **Fig. 8.** *Ruzhenzevites parasolidus* (Bensh), sub axial section, sample SH 54; **Fig. 9.** *Ruzhenzevites zaladuensis zaladuensis* Leven, tangential section, sample SH 51; **Fig. 10.** *Ruzhenzevites zaladuensis zaladuensis* Leven, tangential section, sample SH 51; **Fig. 11.** *Ruzhenzevites zaladuensis zaladuensis* Leven, tangential section, sample SH 51; **Fig. 12.** *Ruzhenzevites zaladuensis* Leven, axial section, sample SH 52.

Plate 2



Fusulinids from the Shishtu section. Magnification is x 10 in all figs. (scale bar D= 0.5 mm).

Fig. 1. *Ruzhenzevites zaladuensis brevis* Leven, sub axial section, sample SH 52; **Fig. 2.** *Ruzhenzevites zaladuensis brevis* Leven, axial section, sample SH 48; **Fig. 3.** *Ruzhenzevites zaladuensis* Leven, axial section, sample SH 50; **Fig. 4.** *Pseudofusulina macilenta* Leven, axial section, sample SH 52; **Fig. 5.** *Pseudoschwagerina* aff. *uddeni* (Beede et Kniker), axial section, sample SH 52; **Fig. 6.** *Pseudoschwagerina extensa* F. et G. Kahler, axial section, sample SH 52; **Fig. 7.** *Pseudoschwagerina* cf. *velebitica* K. Devide, axial section, sample SH 52; **Fig. 8.** *Pseudoschwagerina* cf. *beedei* Dunbar et Skinner, sub axial section, sample SH 51; **Fig. 9.** *Likharevites kokpectensis* (Scherbovich), axial section, sample SH 52; **Fig. 10.** *Likharevites* sp., transverse section, sample SH 52; **Fig. 11.** *Sphaeroschwagerina* cf. *vulgaris* (Scherbovich), transverse section, sample SH 54; **Fig. 12.** *Sphaeroschwagerina* cf. *vulgaris* (Scherbovich), transverse section, sample SH 54.

Plate 3

Fusulinids from the Shishtu section. Magnification is x 15 in all figs. (scale bar D= 0.5 mm).

Fig. 1. *Rauserites tabasensis* Leven, axial section, sample SH 28; **Fig. 2.** *Rauserites fusoideus* Leven, axial section, sample SH 28; **Fig. 3.** *Rauserites* sp. sample, axial section, SH 28; **Fig. 4.** *Rauserites infrequentis* Leven, axial section, sample SH 48; **Fig. 5.** *Rauserites cf. persicus* Leven, axial section, sample SH 48; **Fig. 6.** *Rauserites* sp., sample SH 48; **Fig. 7.** *Jigulites turanixus* Bensh, subaxial section, sample SH 50; **Fig. 8.** *Rauserites infrequentis* Leven sample SH 51; **Fig. 9.** *Rauserites* sp., axial section, sample SH 28; **Fig. 10.** *Rauserites fusoideus* Leven, tangential section, sample SH 28; **Fig. 11.** *Rauserites variabilis* Rosovskaya, tangential section, sample SH 28; **Fig. 12.** *Triticites karlensis* Rosovskaya, subaxial section, sample SH 28; **Fig. 13.** *Triticites ovalis* Rozovskaya, axial section, sample SH 48; **Fig. 14.** *Rauserites quentilus* (Zolotova), axial section, sample SH 28; **Fig. 15.** *Rauserites quentilus* (Zolotova), axial section, sample SH 28; **Fig. 16.** *Rauserites* sp., axial section, sample SH 28; **Fig. 17.** *Anderssonites?* sp., subaxial section, sample SH 53; **Fig. 18.** *Anderssonites nanus* (Sjomin), axial section, sample SH 48; **Fig. 19.** *Nonpseudofusulina ex gr. gregaria* (Lee), axial section, sample SH 50; **Fig. 20.** *Nonpseudofusulina ex gr. gregaria* (Lee), axial section, sample SH 53; **Fig. 21.** *Bensiella restricta* (Sjomin), axial section, sample SH 52; **Fig. 22.** *Rugosofusulina cf. paravalida* Bensh, axial section, sample SH 52; **Fig. 23.** *Triticites?* sp., axial section, sample SH 48; **Fig. 24.** *Triticites* sp., axial section, sample SH 48; **Fig. 25.** *Triticites?* sp., tangential section, sample SH 48; **Fig. 26.** *Triticites* sp., axial section, sample SH 48; **Fig. 27.** *Rauserites ex gr. persicus* Leven, axial section, sample SH 50; **Fig. 28.** *Schwageriniformis cf. nanus* (Rozovskaya), axial section, sample SH 50; **Fig. 29.** *Triticites?* sp., axial section, sample SH 25; **Fig. 30.** *Triticites?* sp., axial section, sample SH 48.

کتابنگاری

- آقاباتی، ع.، ۱۳۸۳، زمین شناسی ایران، انتشارات سازمان زمین شناسی و اکتشافات معدنی کشور، ۵۸۶ ص. <https://doi.org/10.29252/ijcm.28.2.429>.
- برتو آذر، ح.، ۱۳۷۴، سیستم پرمین در ایران، انتشارات سازمان زمین شناسی و اکتشافات معدنی کشور، ۳۴۰ ص.
- طاهری، ع.، ۱۳۸۱، چینه‌نگاری رسوبات پرمین (سازند جمال) در حوضه طبس، رساله دکتری دانشگاه اصفهان، ۱۵۷ صفحه.
- گرگیج، م. ن.، ۱۳۸۱، چینه‌نگاری زیستی و سکانسی رسوبات کربونیفر ناجیه کلمرد را در برش‌های شاه کمالی، مدیکی و گچال، رساله دکتری، دانشگاه آزاد اسلامی واحد علوم و پژوهش‌های انسانی اصفهان، آباده و بزد، دانشگاه آزاد اسلامی واحد علوم و تحقیقات. <https://doi.org/10.18869/acadpub.jrds.13.4.181>.

References

- Aghanabati, A., 2004. *Geology of Iran, Geological Survey of Iran, (In Persian)*, 586 pages. <https://doi.org/10.29252/ijcm.28.2.429>.
- Arefi fard, S., Davydov, V.I., 2004. Permian in Kalmard, Shotori and Shirgesht Areas, Central-Eastern Iran, Permophiles, no. 44, pp. 28–32. <https://www.researchgate.net/publication/312495913>.
- Badpa, M., Khaksar, and K. Ashouri, A., 2011. Study of Carboniferous corals in the Ozbak-kuh Mountains) Eastern of Central Iran (. 11th symposium of fossil Cnidaria and Porifera. Liege. Belgium.<https://doi.org/10.4072/rbp.2016.2.01>.
- Baghbani, D., 1993. The Permian sequence in the Abadeh region, central Iran, p. 7-22. In Nairn, A.E.M. and Koroteev, A.V. (eds.), Contributions to Eurasian geology. Occasional Publication Earth Sciences Research Institute, University of South Carolina, New Series 9B.
- Bensh, F. R., 1972. Stratigraphy and Fusulinids of the Upper Paleozoic of the South Fergana (in Russian), 147 pp..FAN, Tashkent.
- Davydov, V. I. , 1986. Fusulinids of Carboniferous–Permian boundary beds of Darvaz, in Carboniferous–Permian Boundary Beds of the Urals, Cisuralian and Central Asia, edited by Chuvashov et al., p. 103, Nauka, Moscow.
- Gaetani, M., Angiolini, L., Ueno, K., Nicora, A., Stephenson, M., Sciunnach, D., Rettori,R., Price, G., and Sabouri, J., 2009. Pennsylvanian-Early Triassic stratigraphy in the Alborz Mountains (Iran). Geological Society of London, Special Publications 312,79–128. <https://doi.org/10.1144/sp312.5>.
- Gorgij, M.N., 2002. *Biostratigraphy and sequence stratigraphy of Carboniferous sediments of Kalmard region in Shah Kamali, Madbiki and Gachal sections, Ph.D. thesis (In Persian)*, Esfahan University.
- Gorgij, M.N., and Leven, E.J. 2013. The first findings of fusulinids in the sections of the Sabzevar tectonic block (Iran). Stratigraphy and Geological Correlation 21, 8–17. <https://doi.org/10.1134/S0869593813010048>.
- Iranian-Japanese Research Group., 1981. The Permian and the Lower Triassic Systems in Abadeh Region, Central Iran, Mem. Fac. Sci. Kyoto Univ., Ser. Geol. Mineral., vol. 47, no. 2, pp. 1– 133.
- Jalali, A., Yarahmadzahi, H., Vachard, D., Arian, M., Saidi, A., Aleali, M., 2021. New data on the Rectogordius (foraminifera) abundance zone (Latest Carboniferous: Gzhelian) of the Zaladou Formation (east-central Iran, Tabas block, Shishtu section). Annales de Paléontologie. 107(2): 102487. <https://doi.org/10.1016/j.annpal.2021.102487>.
- Kahler, F., 1974. Iranische Fusuliniden, Jahrb. Geol. B.A., vol. 117, pp. 75–107.
- Leven, E. Ja., and Gorgij, M. N., 2005. The Pennsylvanian Permian of the central and east Iran: Anarak, Ozbak-kuh and Shirgesht areas, Permophiles, 46, 20.
- Leven, E.Ja., and Gorgij, M.N., 2006. Gzhelian fusulinids first discovered in Central Iran. Stratigraphy and Geological Correlation 14, 19–29. <https://doi.org/10.1134/s0869593806010023>.
- Leven, E.Ja., and Gorgij, M.N., 2007. Fusulinids of the Khan Formation (Kalmard region, eastern Iran) and some problems of their paleobiogeography: Russian Journal of Earth Sciences, v. 9, p. 1–10. <https://doi.org/10.2205/2007es000219>.
- Leven, E.Ja., and Gorgij, M.N., 2008. New Fusulinids of the Moscovian Stage Found in Iran, Stratigraphy and Geological Correlation, vol. 16, no. 4, pp. 383–399. <https://doi.org/10.1134/s0869593808040035>.
- Leven, E.Ja., and Taheri, A., 2003. Carboniferous – Permian Stratigraphy and fusulinids of East Iran. Gzhelian and Asselian deposits of the OzbakKuh Region, RivistaItaliana di Paleontologia e Stratigrafia, V. 109, no.3, pp. 399-415.
- Leven, E.Ja., and Yarahmadzahi, H., 2020. Fusulinids from the Lower Permian Emarat Formation, Gaduk Section, Central Alborz, Iran, Stratigrafiya, Stratigraphy and Geological Correlation, 28(2):167-176. <https://doi.org/10.1134/s0869593820020033>.
- Leven, E.Ja., Gorgij, M.N., 2009. Section of Permian Deposits and Fusulinids in the Halvan Mountains, Yazd Province, Central Iran, Stratigraphy and Geological Correlation, Vol. 17, No. 2, pp. 155–172. <https://doi.org/10.1134/s0869593809020051>.
- Leven, E.Ja., Gorgij, M.N., 2011a. First record of Gzhelian and Asselian fusulinids from the Vazhnan Formation (Sanandaj-Sirjan Zone of Iran). Stratigraphy and Geological Correlation 19, 486–501. <https://doi.org/10.1134/s0869593811050066>.
- Leven, E.Ja., Gorgij, M.N., 2011b. Fusulinids and stratigraphy of the Carboniferous and Permian in Iran. Stratigraphy and Geological Correlation 19, 687–776. <https://doi.org/10.1134/s0869593811070021>.

- Leven, E.Ja., Vaziri Moghaddam, H., 2004. Carboniferous–Permian stratigraphy and fusulinids of eastern Iran: The Permian in the Bage-Vang section (Shirgesht Area). *Rivista Italiana di Paleontologia e Stratigrafia*, 110(2), 441–465. <https://doi.org/10.1002/gj.2909>
- Lys, M., Stampfli, G., and Jenny, J., 1978. Biostratigraphie du Carbonifère et du Permien de l'Elbourz oriental (Iran du N. E.), Notes Lab. Paléont. Univ. Genève, no. 10, pp. 63–78.
- Partoazar, H., 1995. *Permian deposits in Iran. Treatise on the geology of Iran*, 22. Geological Survey of Iran. (In Persian with English abstract), Tehran, pp. 1–340.
- Ruttner, A., and Stöcklin, J., 1966. Foreword in Contributions to the Paleontology of East Iran, Report. Geological Survey of Iran, no. 6, pp. 2–5.
- Ruttner, A., Nabavai, M.H., and Alavi, M., 1970. Geological map of the Ozbak- kuh mountains 1: 100,000 proof. print.
- Ruttner, A., Nabavi, M., and Hajian, J., 1968. Geology of the Shirgesht area (Tabas area). Reports of Geological Survey of Iran 4, 1–133.
- Sharkovski, M., Susov, M., and Krivyakin, B., 1984. Geology of the Anarak Area (Central Iran), Explanatory Text of the Anarak Quadrangle Map, Reports of Geological Survey of Iran, no.19, pp. 1–31.
- Stepanov, D.L., 1971. Carboniferous stratigraphy of Iran. *Comptes Rendus VIème Congrès International Stratigraphie Géologie Carbonifère*, Sheffield, 1967 4, 1505–1517.
- Stöcklin, J., 1971. Stratigraphic lexicon of Iran, part 1, central, north and east Iran. Reports of Geological Survey of Iran 18, 1–338.
- Stöcklin, J., Eftekhar-Nezhad, J., and Hushmand-Zadeh, A., 1965. Geology of the Shotory range (Tabas area, East Iran). Reports of the Geological Survey of Iran 3, 1–69.
- Taheri, A., 2002. *Stratigraphy of Permian deposits (Jamal Formation) in Tabas Basin*, Ph.D. thesis (In Persian), Esfahan University, 157 p.
- Walliser, O.H., 1966. Preliminary notes on Devonian, Lower and Upper Carboniferous goniatites in Iran. Geological Survey of Iran, (Contribution to the paleontology of East Iran), Report No. 6; 7–24.
- Yarahmadzahi, H., 2011. *Fusulinid biostratigraphy and sequence stratigraphy of Lower Permian sepositis in Central Iran (Isfahan, Shareza, Abadeh and Yazd Areas)*: Ph.D. thesis, Science and Research Branch, Islamic Azad University, Tehran, 263 p. (In Persian).
- Yarahmadzahi, H., and Leven, E. Ja., 2021. Middle Permian (Late Murgabian) Fusulinids of the Jamal Formation, Tabas Area, Iran, Stratigraphy and Geological Correlation 29(6):766-766. <https://doi.org/10.1134/s0869593821050075>.
- Yarahmadzahi, H., and Vachard, D., 2018 . The Uppermost Carboniferous (Gzhelian)-Lower Permian (Asselian-Sakmarian) stratigraphy and smaller foraminifers of the Ozbak-Kuh region (Tabas Block, east central Iran). Geological Journal 53, 510–526. <https://doi.org/10.1002/gj.2909>.
- Yarahmadzahi, H., and Vachard, D., 2019 . Moscovian-Asselian (middle Pennsylvanian–earliest Cisuralian) Smaller Foraminifers from the Asad-abad Section (Sanandaj-Sirjan Zone, Central Iran). Journal of Foraminiferal Research, 49, 107–130.
- Yarahmadzahi, H., Vachard, D., and Gorgij, M. N., 2015. First recordof Sakmarian smaller foraminifers from the Sarab section (SouthLut Block in Central Iran): Arabian Journal Geosciences, v. 8,p. 3119–3127.
- Zanchi, A., Zanchetta, S., Garzanti, E., Balini, M., Berra, F., Mattei, M., and Muttoni, G., 2009. The Cimmerian evolution of the Nakhla-Anarak area, Central Iran, and its bearing for the reconstruction of the history of the Eurasian margin. In: Brunet, M. F., Wilmsen, M., Granath, J. W. (Eds.), South Caspian to Central Iran Basins. Geological Society of London, Special Publications 312, pp. 261–286. <https://doi.org/10.1144/sp312.13>.